



En el Marco del Proyecto 397-PNICP-PIAP-2014

## **INFORME MENSUAL: setiembre de 2015**

### **EVENTOS HIDROLÓGICOS EXTREMOS EN LA AMAZONÍA PERUANA: Sistema de Alerta para la Previsión**



Foto: Est. hidrométrica de Borja (río Marañón) agosto 2015

Elaboración: Ing. Lucio Vergara S. (ANA) [lvergara@ana.gob.pe](mailto:lvergara@ana.gob.pe)

Revisión: Dr. Jhan Carlo Espinoza (IGP) [jhan-carlo.espinoza@igp.gob.pe](mailto:jhan-carlo.espinoza@igp.gob.pe)

Setiembre, 2015

Lima-Perú

# CONTENIDO

- I. Introducción
- II. Objetivo
- III. Datos hidroclimáticos
- IV. Análisis de las condiciones iniciales
  - 4.1. Análisis de las condiciones globales del clima
    - a. Temperatura superficial del mar
    - b. Circulación atmosférica global
    - c. Flujos de humedad y su divergencia
  - 4.2. Análisis de la precipitación
    - a. Anomalías de precipitación últimos 30 días, TRMM
    - b. Evolución temporal de anomalías de precipitación
  - 4.3. Análisis de registro de niveles de ríos
- V. Análisis de las previsiones
  - 5.1. Análisis de la temperatura superficial del mar
    - a. Pronóstico de la TSM a nivel global
    - b. Pronóstico de la región Niño 3.4
    - c. Pronóstico de la región NATL
  - 5.2. Análisis del pronóstico de las precipitaciones
- VI. Conclusiones
- VII. Referencias

# **EVENTOS HIDROLÓGICOS EXTREMOS EN LA AMAZONÍA PERUANA:**

## **Sistema de Alerta para la Previsión**

### **I. Introducción**

El presente informe mensual del estudio “Eventos Hidrológicos Extremos en la Amazonía Peruana: Sistema de Alerta Cualitativo para la Previsión”, está elaborado en el marco del observatorio ORE-HYBAM y es posible gracias al convenio interinstitucional entre la Autoridad Nacional del Agua y el Instituto Geofísico del Perú. Asimismo, este documento constituye un producto del proyecto 397-PNICP-PIAP-2014. Esta cooperación interinstitucional tiene como objetivo la elaboración e implementación del estudio en mención, con la finalidad de contar con un sistema estacional que permita prever los impactos de los eventos hidrológicos extremos en la sociedad de la Amazonía peruana.

Durante los últimos años, estudios científicos han evidenciado la influencia de la temperatura superficial del mar anómalos de algunas regiones oceánicas circundantes en la ocurrencia de eventos hidrológicos extremos en la Amazonía peruana, como es descrito en Espinoza et al. (2009, 2011, 2012a y 2013) y Yoon & Zeng (2010), así como en Lavado et al. (2012), entre otros.

En este informe mensual correspondiente al mes de setiembre 2015, se presentan los resultados del análisis de las condiciones actuales hasta el último día del mes y la previsión de las variables hidroclimáticas para los próximos 03 meses.

### **II. Objetivo**

Establecer el sistema de alerta cualitativo estacional que permita conocer, bajo un criterio técnico, las condiciones hidrológicas más probables de los principales ríos Amazónicos peruanos durante las estaciones críticas del año. Esto permitirá prever la posible ocurrencia de eventos hidrológicos extremos.

### **III. Conjunto de Datos**

La base de datos de las variables hidroclimáticas, se viene actualizando diariamente, semanalmente y mensualmente con información proveniente de diferentes agencias internacionales de investigación del clima y disciplinas afines, así como de servicios nacionales y locales. Para más detalle revisar el primer informe mensual y complementario correspondiente al mes de setiembre de 2013.

## **IV. Análisis de Condiciones Iniciales**

### **4.1. Condiciones Globales y Regionales del Clima**

En esta sección presentamos el análisis de las anomalías de temperatura superficial del mar (TSM) del Pacífico ecuatorial y Atlántico tropical, de la circulación atmosférica regional con dominio de América del Sur (50°N a 60°S, 0° a 150°W), asimismo, el análisis de los flujos de humedad y su divergencia en la región (20°N a 30°S, 20°W a 100°W). Las informaciones provienen de la Administración Nacional Oceánica Atmosférica de los Estados Unidos (NOAA por sus siglas en inglés). Las anomalías de TSM son reportados en grados Celsius (°C) y las anomalías de vectores de viento son reportados en magnitudes de m/s, ambos en formato gráfico.

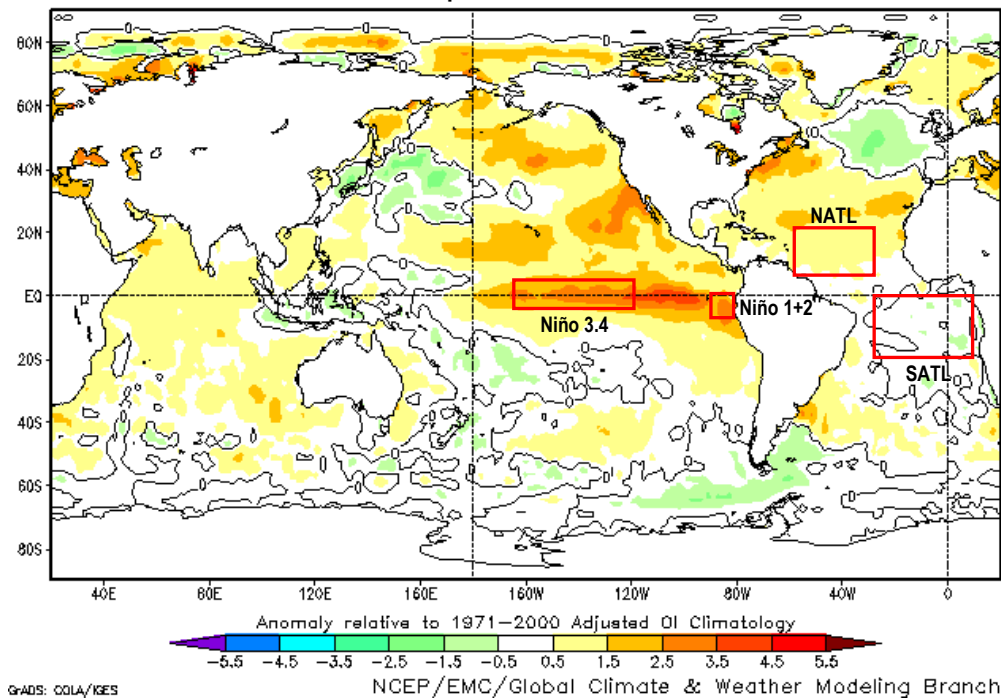
#### **a) Anomalías de Temperatura Superficial del Mar (TSM)**

Durante el mes de setiembre 2015 el Pacífico ecuatorial Central, la región Niño 3.4 mostró anomalías positivas de TSM de 2.3°C en promedio (Tabla 1), con un ligero ascenso respecto al mes anterior (áreas compartidas entre naranja pálido y oscuro en Fig. 1). Asimismo, la región del Pacífico ecuatorial Este (Niño 1+2) mostró anomalías positivas de TSM de 2.6°C en promedio (Tabla 1 y dominio de color naranja oscuro en Fig. 1), respecto al mes anterior, presentó un ascenso de 0.4°C. En general, el Pacífico ecuatorial presenta condiciones cálidas de magnitud fuerte, tal como ha sido reportado por el ENFEN en su Comunicado Oficial N°17-2015 (octubre).

La región del Atlántico tropical Norte (NATL) mostró condiciones cercanas a la media climatológica con anomalías positivas de 0.5°C de TSM en promedio (dominio de color amarillo pálido, ver Fig. 1 y Tabla 1), con un ascenso respecto al mes de agosto. Por otro lado, la región Atlántico tropical Sur (SATL) mostró ligeras anomalías negativas de TSM de -0.3°C en promedio para el mes de setiembre (Fig. 1 y Tabla 1), con un ligero descenso al mes anterior.

En resumen, la TSM de la región del Pacífico ecuatorial muestran condiciones cálidas fuertes y las regiones del Atlántico tropical muestran condiciones cálidas débiles durante setiembre de 2015 (Fig. 1).

Olv2 Sea Surface Temperature Anomaly (°C)  
September 2015



**Fig. 1:** Anomalías de temperatura superficial del mar (TSM) en °C del mes de setiembre de 2015. Las anomalías son calculadas utilizando la climatología del periodo base 1971-2000. Fuente NOAA/NCEP.

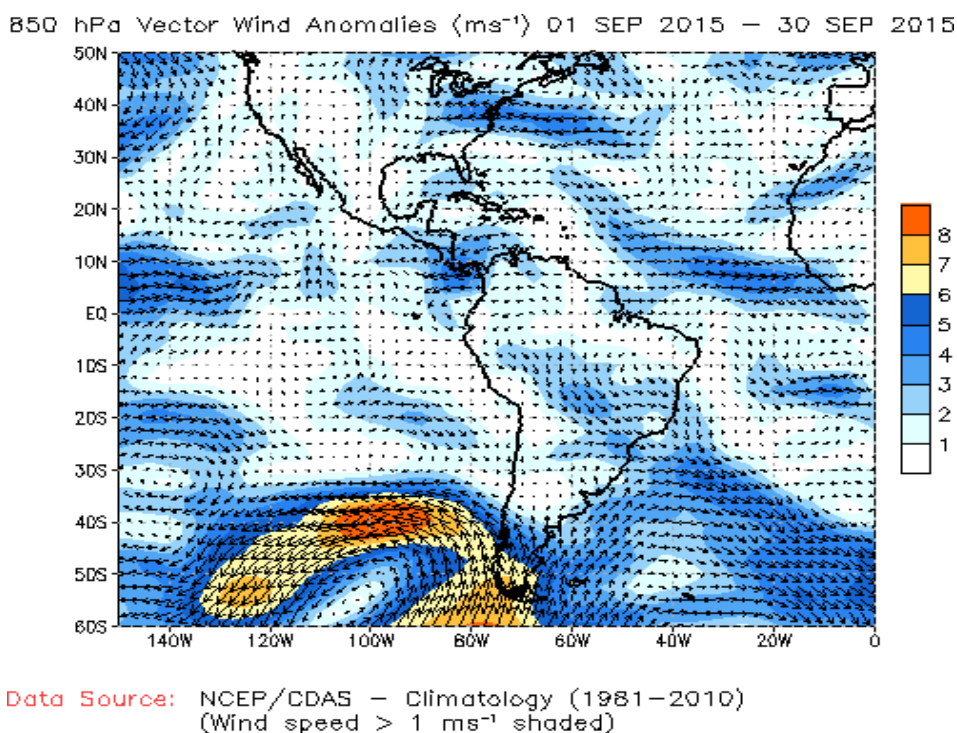
SETIEMBRE 2015								
MES	TSM PACÍFICO				TSM ATLÁNTICO			
	NINO 1+2 0-10S 90W-80W		NINO 3.4 5N-5S 170W-120W		N. ATL 5N-20N 60W-30W		S. ATL 0-20S 30W-10E	
SET 14	1.0	21.3	0.5	27.2	0.1	28.2	0.0	23.0
OCT 14	0.8	21.5	0.5	27.2	0.3	28.4	0.0	23.3
NOV 14	0.7	22.3	0.9	27.5	0.1	27.7	-0.5	23.5
DIC 14	0.1	22.9	0.8	27.4	0.0	26.8	-0.4	24.4
ENE 15	-0.4	24.1	0.5	27.1	0.1	26.1	0.1	25.7
FEB 15	-0.6	25.6	0.6	27.3	0.3	25.8	0.1	26.7
MAR 15	0.1	26.7	0.6	27.8	-0.2	25.4	0.0	27.2
ABR 15	1.4	27.0	0.8	28.6	-0.3	25.6	0.2	27.3
MAY 15	2.4	26.7	1.0	28.9	-0.4	26.0	0.5	26.6
JUN 15	2.5	25.4	1.3	29.0	-0.4	26.4	0.0	24.9
JUL 15	2.9	24.5	1.6	28.8	-0.3	26.9	-0.2	23.6
AGO 15	2.2	22.9	2.1	28.9	0.0	27.8	-0.4	22.7
<b>SET 15</b>	<b>2.6</b>	<b>22.9</b>	<b>2.3</b>	<b>29.0</b>	<b>0.5</b>	<b>28.6</b>	<b>-0.3</b>	<b>22.8</b>

**Tabla 1.** Temperatura superficial del mar (Anomalías 1ra. columna y °C 2da. columna) para los últimos 12 meses. Las anomalías son variaciones respecto a la climatología de 1981-2010 (Smith & Reynolds, 1998), de regiones oceánicas relevantes para la previsión de eventos extremos en la Amazonía peruana.

## b) Anomalías de la Circulación Atmosférica

En la región del Pacífico ecuatorial se observa un debilitamiento de los vientos Alisios principalmente en la región central a excepción de la región este (Fig. 2).

Dentro del continente sudamericano, se observa transporte de humedad desde el este de la cuenca Amazónica hacia la cuenca del río de La Plata y el sur de Brasil (intensificación del Low-Level Jet; ej. Espinoza et al., 2012b). Asimismo, en la región ecuatorial del océano Atlántico, se observa un fuerte debilitamiento de los vientos Alisios, los cuales son encargados de transportar la humedad desde el Atlántico tropical hacia la cuenca amazónica (Fig. 2).



**Fig. 2:** Anomalía de vientos en niveles bajos (850 hPa) de la atmósfera, (del 01 de setiembre al 30 de setiembre de 2015). Las anomalías fueron calculadas utilizando el periodo base los promedios entre 1981 y 2010. Fuente: NOAA/NCEP.

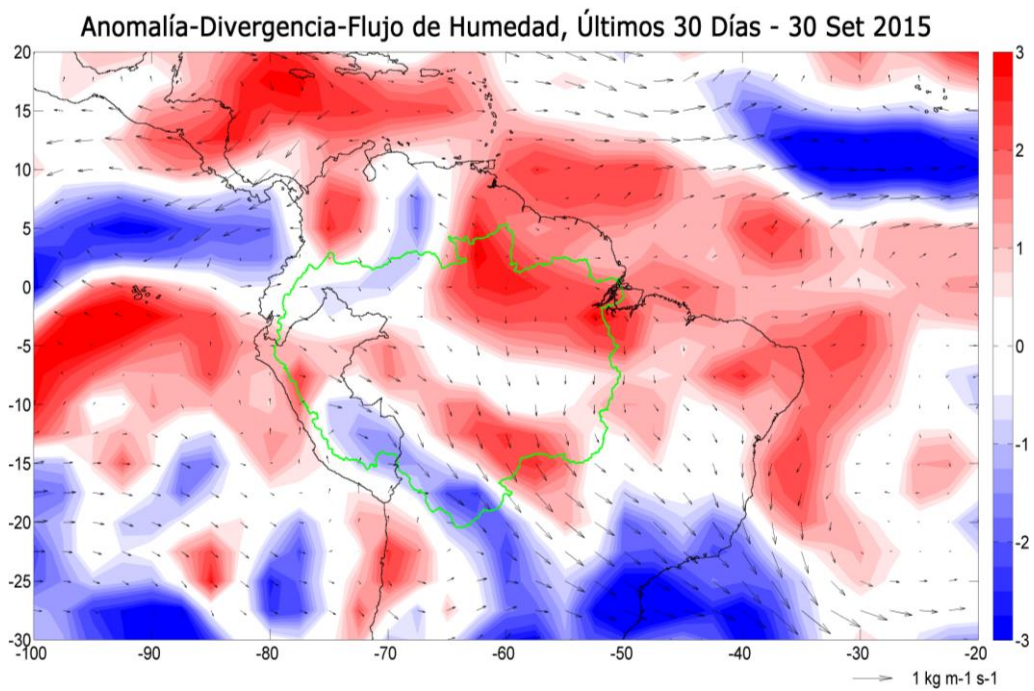
## c) Anomalías de Transporte de Humedad y su Divergencia

Los flujos de humedad y su divergencia fueron elaborados con datos de reanálisis NCEP/NCAR de la NOAA, con una resolución espacial de  $2.5^\circ \times 2.5^\circ$  y resolución temporal diaria. El periodo de análisis es del año 1970 al presente (45 años), sobre la región entre  $20^\circ\text{N}$ - $30^\circ\text{S}$  y  $100^\circ\text{W}$ - $20^\circ\text{W}$ .

El flujo de humedad integrado verticalmente,  $F_w$ , en un punto de cuadrícula está dado por la siguiente ecuación:

$$F_w = \frac{1}{g} \int_{1000}^{300} q \cdot V \cdot dp$$

donde  $g$  es la aceleración de la gravedad,  $q$  es la humedad específica,  $V$  es el vector de viento horizontal, y  $p$  es la presión. Los flujos son integrados de la superficie a 300 hPa, para más detalle revisar Satyamurty *et al.* (1998).



**Fig. 3:** Anomalías de flujo de humedad integrado en los niveles de 1000 hPa a 300 hPa de la atmósfera y su divergencia. El periodo corresponde de 01 de setiembre al 30 de setiembre 2015. Las anomalías son calculadas utilizando el periodo base de 1979 a 1995. Fuente: NOAA/NCEP.

Durante este periodo, se observa divergencia de flujos de humedad en gran parte de la cuenca Amazónica. Sin embargo, se observó convergencia en el suroeste (sur de la Amazonía peruana y Amazonia boliviana) de la cuenca Amazónica, ver Fig. 3. Estas condiciones probablemente están asociadas a mínimas ingresos de humedad desde el Atlántico tropical Norte y a la intensificación de los vientos de bajo nivel al este de los Andes, dirigidos hacia la cuenca de La Plata, descritos en la Figura 2.

## **4.2. Análisis de Precipitaciones**

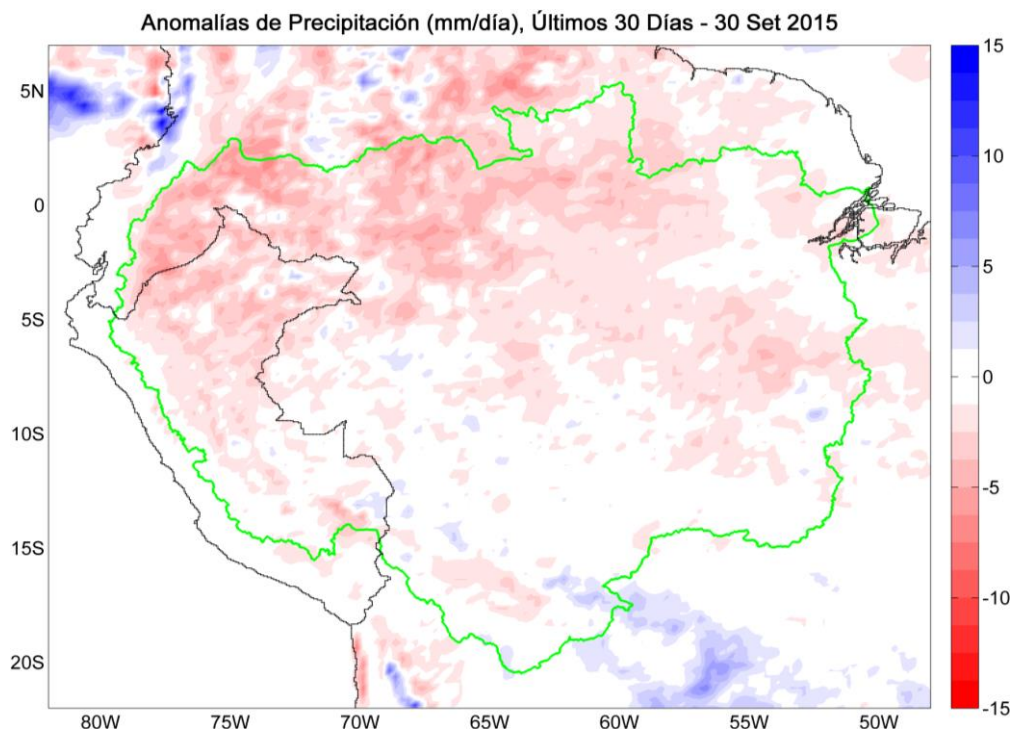
Esta sección presenta el análisis de las anomalías de precipitación del producto de Radar Tropical Rainfall Measuring Mission a tiempo real (TRMM-3B42RT), para más detalle revisar Huffman et al. (2010). Los datos de TRMM-RT son reportados a paso de tiempo diarios a nivel global, pero procesados para la región de interés (7°N a 22°S; 82°W a 48°W) haciendo uso del programa Matlab®, mostrando anomalías de precipitación en mm/día.

### **a) Anomalías de Precipitación Radar TRMM-RT**

Durante el periodo de 01 hasta 30 de setiembre 2015, según datos de TRMM-RT, la magnitud de las precipitaciones estuvo por debajo de lo normal (anomalías de -6 mm/día en promedio) en gran parte de la cuenca Amazónica, principalmente concentrados en la región noroeste (cuenca de Branco, Negro, Japurá, Putumayo), asimismo, gran parte de la Amazonía peruana primordialmente en la región norte, que involucra las cuencas del Huallaga, Marañón, Pastaza, Tigre, y Napo (Fig. 4). En la región sur de la cuenca Amazónica, principalmente en la Amazonía boliviana y parte de la región sur de la Amazonia peruana (nacientes de la cuenca del río Ucayali y cuenca Madre de Dios), muestran anomalías neutrales de precipitación (Fig. 4).

Las condiciones de precipitación mostradas por la fuente de datos del TRMM-RT en la cuenca Amazónica podrían atribuir al debilitamiento de los vientos alisios en el Atlántico y las pocas incursiones de flujo de humedad desde el Atlántico tropical Norte (Fig. 2) y al mayor transporte de humedad desde el oeste de la cuenca hacia el sur del continente.



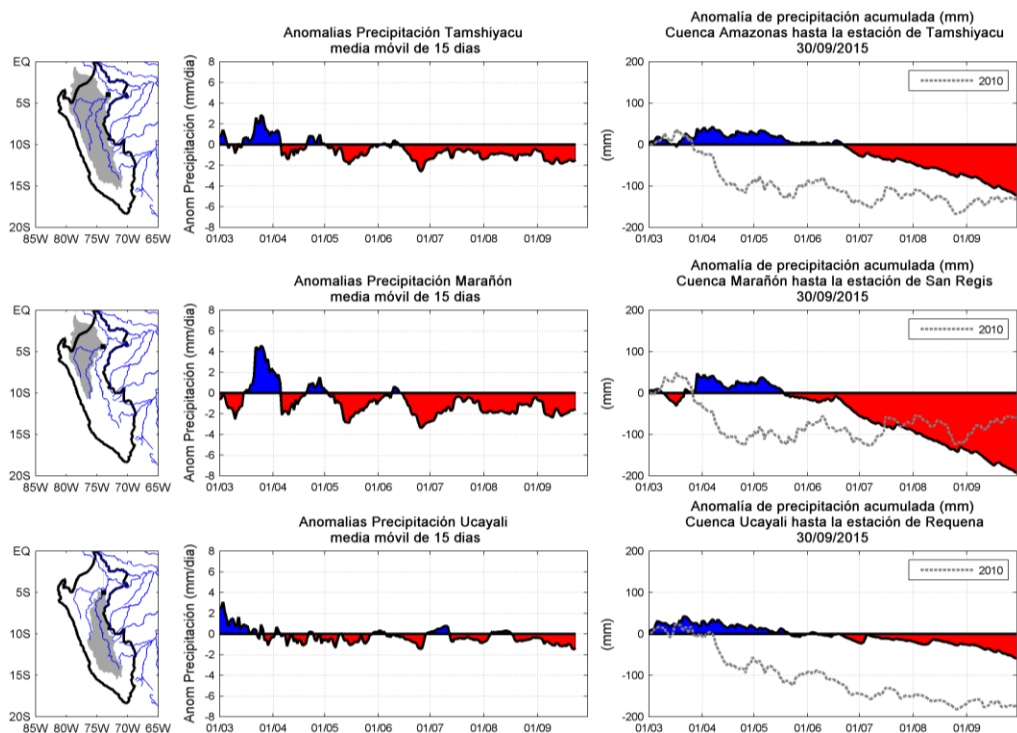


**Fig. 4:** Anomalías de precipitación estimadas por el TRMM-RT en mm/día hasta 30 de setiembre de 2015. Las anomalías fueron calculadas con respecto al periodo base promedio 2000-2014. Se muestra límites de la cuenca Amazónica en línea verde. Las anomalías de precipitación del TRMM-RT actualizadas a tiempo real puede verse en: <http://www.igp.gob.pe/eventos-extremos-amazonia-peruana/>

#### **b) Evolución Temporal de Anomalías de Precipitación para las Cuencas Amazónicas Peruanas**

La evolución temporal de anomalías de precipitación para las principales cuencas hidrográficas de la Amazonía peruana fue calculada utilizando las estimaciones del producto TRMM-RT. El periodo para la obtención del armónico de la precipitación es del 2000 al 2014 para cada cuenca (Tamshiyacu en el río Amazonas, San Regis en el Marañón y Requena en el Ucayali. Ver ubicación de las estaciones y cuencas de drenaje en la Figura 5). Los armónicos consisten en representar las fluctuaciones o variaciones en una serie de datos como la suma de una serie de funciones de senos y cosenos.

Utilizando el análisis de armónicos de la precipitación, se calculó la anomalía de precipitación diaria suavizadas mediante una media móvil de 15 días y la anomalía de precipitación acumulada desde el primer trimestre del año (01/03).



**Fig. 5:** Evolución temporal de anomalías de precipitación integradas en las principales cuencas hidrográficas de la Amazonía peruana: el río Amazonas hasta la estación Tamshiyacu (arriba), el río Marañón hasta la estación San Regis (medio) y el río Ucayali hasta la estación Requena (abajo). En la columna de la se observa la ubicación de las cuencas hidrográficas. En la columna del medio se muestran anomalías de precipitación. En la columna de la derecha se muestran anomalías acumuladas hasta la fecha indicada. En color azul se indican anomalías positivas de precipitación (valores por encima del promedio climatológico), en color rojo anomalías negativas de precipitación (valores por debajo del promedio climatológico). Las anomalías son calculadas considerando un periodo base de 2000 al 2014. La línea de color gris muestra la precipitación acumulada correspondiente a cada cuenca hidrográfica para el año 2010. Para ver esta figura actualizada a tiempo real ir a: <http://www.igp.gob.pe/eventos-extremos-amazonia-peruana/>

La evolución temporal de anomalías de precipitación para las tres principales cuencas de la Amazonía peruana (Amazonas, Marañón y Ucayali) indicadas en la Figura 5, se encuentra desde el mes de abril, en el rango negativo. Las anomalías de precipitación acumulada para el presente año hidrológico, en la cuenca de Ucayali (estación Requena), Amazonas (estación Tamshiyacu) y Marañón (estación San Regis), muestran un déficit de precipitación de -60 mm, -140 mm y -200 mm respectivamente. Estas anomalías de precipitación son coherentes con la débil

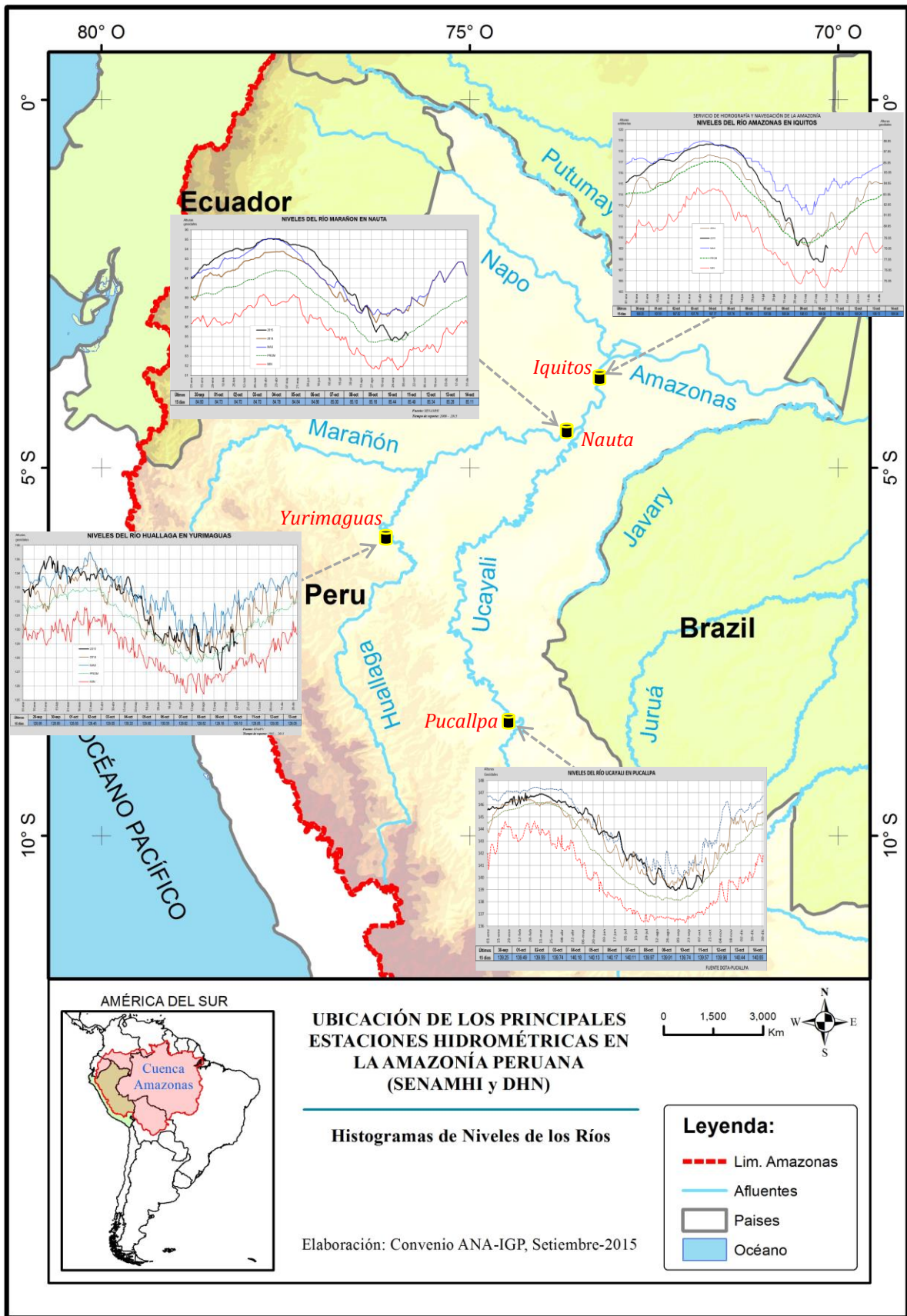
advección de humedad que se viene observando en la región noroeste de la Amazonía peruana, produciendo una disminución de lluvias en esta región (Fig. 3 y 4).

#### **4.3. Análisis de Niveles Históricos de los Ríos**

El SEHINAV (Servicio de Hidrografía y Navegación de la Amazonía) de la Dirección de Hidrografía y Navegación, reporta a tiempo real los histogramas de niveles de los ríos de la amazonía peruana a paso de tiempo diario en alturas geoidales y arbitrarias, dichos productos se puede encontrar en el siguiente enlace: <https://www.dhn.mil.pe/shna/index2.asp>.

Se registraron niveles de ríos por debajo del promedio climático (anomalías negativas) en la cuenca de mayor área de la Amazonía peruana, es decir, en el río Amazonas (Tamshiyacu), ver Fig. 6. En esta estación se puede observar una disminución abrupta de los niveles del río desde finales del mes de junio (Fig. 6), lo que coincide con la disminución de las lluvias observada en la Figura 5. En las estaciones de Nauta (río Marañón) y Yurimaguas (río Huallaga) se registraron valores de niveles de ríos muy cercanos al promedio climático, pero por debajo de la misma (anomalías negativas).

En el río Ucayali (niveles en Pucallpa) se observa ascenso del nivel del río desde fines del mes de agosto, encontrándose en los últimos días por encima de su nivel promedio histórico (anomalía positiva), Fig. 6. No obstante, los niveles de río de las cuencas mencionados, se encuentran en el tramo de tránsito de periodo de estiaje a periodo de crecidas, a consecuencias de inicio de la temporada de lluvias en esta región (Fig. 6).



**Fig. 6:** Histograma de niveles de ríos diarios de los principales río de la Amazonía peruana. Fuente: DHN (<https://www.dhn.mil.pe/>).

## **V. Análisis de las Previsiones**

En este capítulo se analizan los pronósticos de las anomalías de temperatura superficial del mar en las regiones más relevantes (Niño 3.4, Niño 1+2, NATL y SATL). Además, se analizan las anomalías de precipitación para los próximos 03 meses, que corresponden a la temporada de ascenso de las lluvias en la región de la Amazonía peruana. Los reportes provienen de las agencias internacionales y nacionales de pronóstico del clima (IRI, NOAA, CPTEC e IGP).

### **5.1. Análisis de la Temperatura Superficial del Mar**

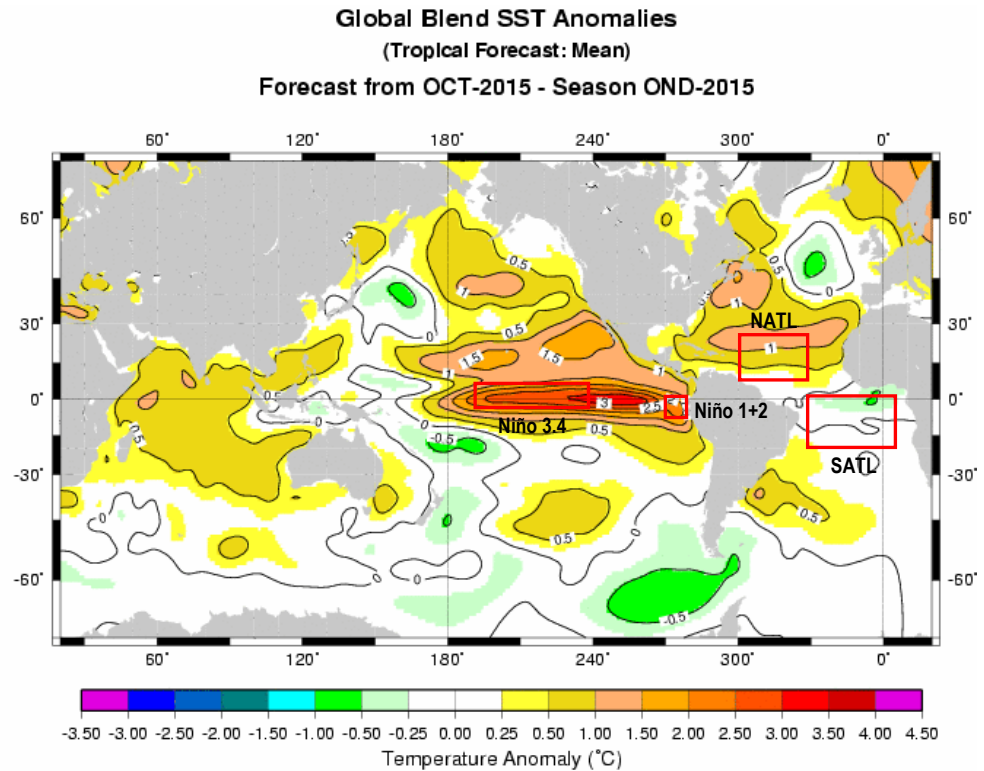
Esta sección contiene los pronósticos de anomalía de temperatura superficial del mar a nivel global desarrollados por el International Research Institute for Climate and Society (IRI) y el US National Multi-Model Ensemble (NMME). Los gráficos de pronósticos del Pacífico ecuatorial y el Atlántico tropical fueron elaborados por el Instituto Geofísico del Perú (IGP) en el marco del Estudio Nacional del Fenómeno El Niño (ENFEN).

#### **a) Pronóstico de la TSM a nivel Global**

Según el reporte del IRI, los pronósticos de anomalías de TSM, para el trimestre octubre-diciembre (OND) de 2015, proyectan condiciones cálidas de magnitud fuerte para la región Niño 3.4 (dominio de color naranja oscuro en Fig. 7) y de la misma manera proyectan condiciones cálidas fuertes para la región Niño 1+2 (dominio de color naranja oscuro en Fig. 7). Asimismo, el Comunicado Oficial ENFEN N° 17-2015 (octubre) indica que para el Pacífico central (región Niño 3.4), los modelos globales continúan pronosticando la intensificación de las condiciones El Niño hacia fin de año con anomalías de la TSM que podrían exceder +2°C. El ENFEN mantiene la probabilidad de 55% que El Niño Costero alcance una magnitud fuerte o extraordinaria y 80% de que El Niño central alcance una magnitud fuerte o extraordinaria.

Para la región del Atlántico tropical Norte (NATL) se prevén condiciones cálidas moderadas con anomalías positivas de TSM (dominio de color amarillo oscuro y coral, ver Fig. 7) para el trimestre octubre-diciembre (OND). Para la región del Atlántico tropical Sur (SATL) pronostican anomalías negativas débiles de TSM

(región con predominancia de color blanco con manchas de color verde en el extremo superior, ver Fig. 7). En la región subtropical del Atlántico Sur las anomalías positivas de TSM tienden a incrementarse (regiones con anomalías positivas superiores a 1.0°C, en forma localizada, ver Fig. 7).

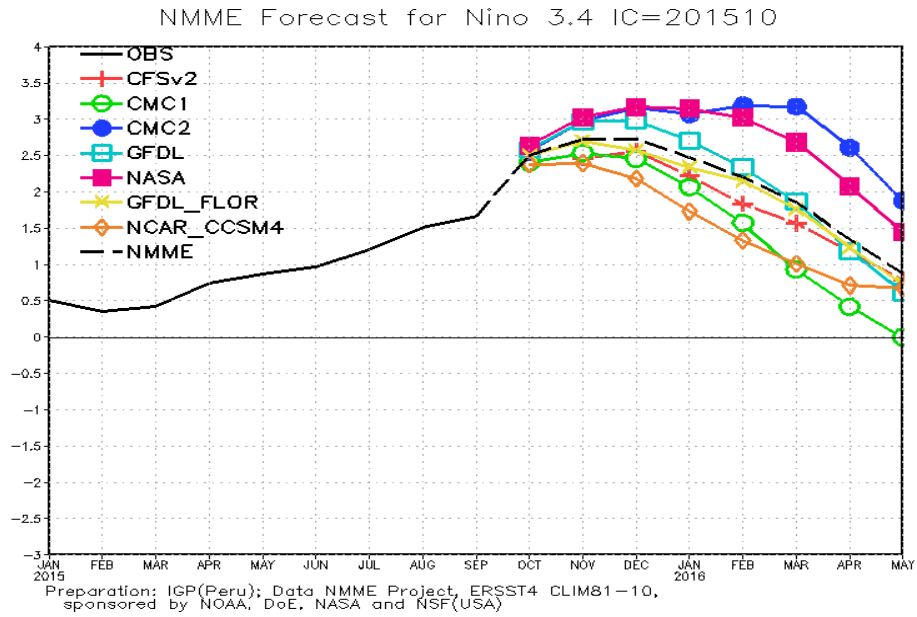


IRI 2015 Sep 28 12:06:31

**Fig. 7:** Pronóstico de las anomalías de temperatura superficial del mar (°C) a nivel global, para el trimestre octubre-diciembre (OND). Rectángulos rojos indican regiones de análisis. Fuente: International Research Institute for Climate and Society (IRI).

### b) Pronóstico de la Región El Niño 3.4

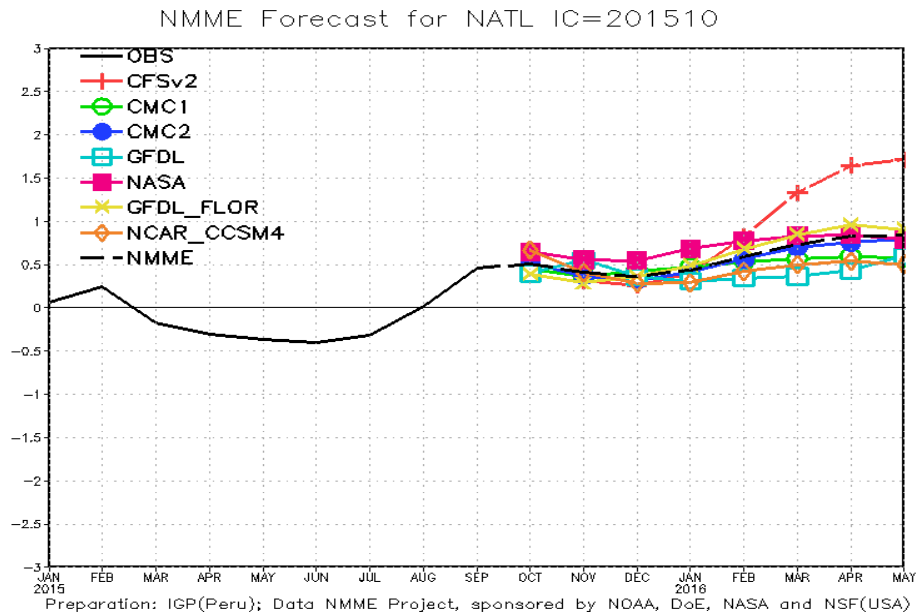
Con respecto a los reportes de NMME (North American Multi-Model Ensemble), las proyecciones de las anomalías de TSM en el Pacífico ecuatorial central (Niño 3.4) para los próximos 03 meses (OND), presentarían condiciones cálidas fuertes a extraordinarias de acuerdo al ensamble de los modelos (anomalía de TSM sobre el promedio climatológico con 2.7°C en promedio, ver Fig. 8). Las proyecciones mantendrían una tendencia positiva hasta el mes de diciembre de 2015 llegando hasta 2.8°C, luego retomaría una tendencia negativa los primeros meses del año 2016, ver Figura 8.



**Fig. 8:** Pronóstico de las anomalías de temperatura superficial del mar (TSM) por modelos acoplados para la región Niño 3.4 (5°N-5°S, 120°W-170°W) del Pacífico ecuatorial central, a partir de condiciones de fines de setiembre 2015. Fuente: CPC/NCEP/NOAA.

### c) Pronóstico de la región Atlántico Tropical Norte

Según el reporte del IGP elaborados con datos del NMME, los modelos de pronósticos de fines de agosto 2015 pronostican que las anomalías de TSM en el Atlántico tropical Norte (NATL) para el próximo trimestre octubre-diciembre (OND) mostrarían condiciones neutrales (anomalías de TSM por encima del promedio climatológico con 0.4°C, ver Fig. 9), manteniendo la tendencia nula hasta fin de año, para luego tomar una tendencia positiva más pronunciadas los primeros meses del año 2016.



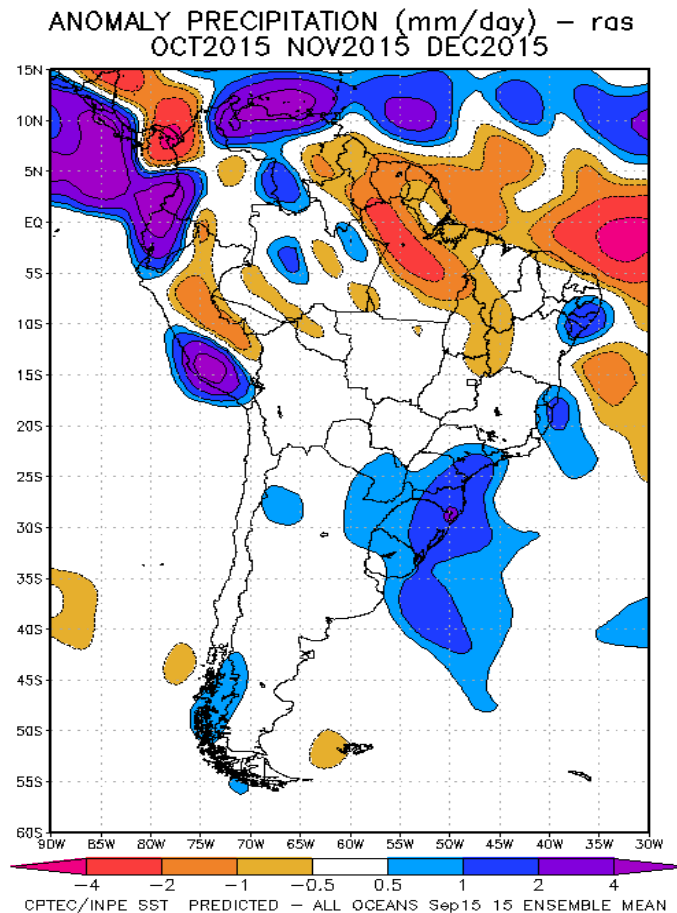
**Fig. 9:** Pronóstico de las anomalías de temperatura superficial del mar (TSM) para la región del Atlántico tropical Norte (NATL: 5°N-20°N, 30°W-60°W), a partir de condiciones de fines de setiembre 2015. Fuente: Instituto Geofísico del Perú (IGP).

## 5.2. Análisis del Pronóstico de las Precipitaciones

En el reporte del CPTEC, los pronóstico de anomalías de precipitaciones para los próximos 03 meses octubre-diciembre (OND) 2015 con datos observados de fines de setiembre, mostrarían dominio de anomalías negativas de precipitación en la región oeste y este (región adyacente a la desembocadura) de la cuenca Amazónica, con valores de hasta - 4 mm/día en promedio (Fig. 10). Asimismo, gran parte de la Amazonia peruana mostraría anomalías negativa de precipitación de hasta -2 mm/día (Fig. 10).

En general, en la mayoría de las regiones de la cuenca Amazónica se prevé déficit de precipitación, lo cual daría continuidad a las condiciones secas que se vienen observando. En la línea fronteriza entre Colombia y Venezuela se observaría anomalías positivas de precipitación de hasta 2 mm/día (Fig. 10).





**Fig. 10:** Pronóstico de las anomalías de la precipitación (mm/día) método **ras** para el trimestre OND del 2015 en América del Sur, con datos observados del mes de setiembre. Fuente: CPTEC/INPE.

## VI. Conclusiones

Durante el mes de setiembre 2015, la TSM en el Pacífico ecuatorial región Niño 3.4 mostró condiciones cálidas fuertes (anomalías positivas de TSM de 2.3°C), con un ascenso respecto al mes anterior. La región Niño 1+2 presentó condiciones cálidas de magnitud fuerte (anomalías positivas de TSM de 2.6°C), como indica el ENFEN en su comunicado oficial N°17-2015 (octubre). El Atlántico tropical Norte (NATL) mostro anomalías positivas y el Atlántico tropical Sur (SATL) presentan anomalías negativas, pero ambos en el rango neutral (anomalías de TSM de 0.5°C para el NATL y -0.3°C para SATL).

Para el periodo de análisis (setiembre) se observó anomalías negativas de flujo de humedad en gran parte de la cuenca Amazónica. En el extremo noroeste y suroeste de la cuenca se observó convergencia de flujos de humedad. En contraste, se observan

divergencia de flujos de humedad en la región central y este de la cuenca Amazónica, además, de la región central de la Amazonía peruana.

Hasta fines del mes de setiembre 2015, según lo mostrado por la fuente de datos del TRMM-RT, se presentaron anomalías negativas de precipitación en gran parte de la región noreste de la cuenca Amazónica (principalmente en la Amazonía ecuatoriana, Amazonia colombiana y alrededor de la cuenca Negro y Branco en Brasil) incluyendo el norte de la Amazonía peruana (cuenca de Tigre, Napo y Marañón). Asimismo, se podría atribuir a pocas incursiones de flujo de humedad del Atlántico tropical Norte.

Ha mediados del mes de octubre 2015, aún se registraron niveles de ríos por encima del promedio climático en la estación de Pucallpa. En contraposición, la estación de Tamshiyacu se encuentra por debajo del promedio climático, y las estaciones de Nauta y Yurimaguas se encuentran muy cercano al promedio histórico, pero debajo de la misma (anomalías negativas). No obstante, los niveles de río de las cuencas mencionados, se encuentran en el tramo de tránsito de período de estiaje a período de crecidas, a consecuencias de inicio de la temporada de lluvias en esta región.

Respecto a las condiciones hidroclimáticas para el próximo trimestre (OND), el ENFEN en su Comunicado Oficial ENFEN N° 17-2015 (octubre) que para el Pacífico central (región Niño 3.4), los modelos globales continúan pronosticando la intensificación de las condiciones El Niño hacia fin de año con anomalías de la TSM que podrían exceder +2°C y el ENFEN mantiene la probabilidad de 55% que El Niño Costero alcance una magnitud Fuerte o Extraordinaria.

El ascenso del calentamiento en el Pacífico central en los próximos meses podría intensificar el déficit de precipitaciones que ya se viene observando en la región Amazónica y en el flanco este de los Andes, como ha sido documentado en estudios previos (e. g. Espinoza et al., 2011; Lavado et al., 2013; Lavado & Espinoza, 2014). Por lo tanto, la evolución de las variables oceánicas y atmosféricas deberá ser monitoreada detalladamente en los próximos meses, considerando que septiembre y octubre son los meses en los que se producen los valores mínimos anuales de niveles de ríos. Dado el panorama actual, se espera un período de aguas bajas por debajo de lo normal, aunque sin llegar a eventos extraordinarios como los ocurridos en 2005 y 2010, en parte gracias al fuerte período de lluvias que se observó a inicios de año (ver informes desde el mes de enero hasta mayo).

La base de datos de las variables hidrológicas se sigue actualizando continuamente, compilando informaciones provenientes de diferentes agencias internacionales de investigación del clima e instituciones locales (NOAA, IRI, CPTEC, SENAMHI, etc.). Desde el mes de febrero las variables de precipitación se encuentran a tiempo real en la página web <http://www.igp.gob.pe/eventos-extremos-amazonia-peruana>.

## VII. Referencias

- Espinoza J. C., Guyot J-L, Ronchail J, Cochonneau G, Filizola N, Fraizy P, de Oliveira E, Ordoñez J J and Vauchel P (2009). Contrasting regional discharge evolutions in the Amazon basin (1974–2004) *J. Hydrol.* 375 297–311
- Espinoza J. C., Ronchail J., Guyot J. L., Junquas C., Vauchel P., Lavado W., Drapeau G. y Pombosa R. (2011). “Climate variability and extreme drought in the upper Solimões River (western Amazon Basin): Understanding the exceptional 2010 drought”. *Geophys. Res. Lett.* 38 L13406.
- Espinoza J. C., Ronchail J., Frappart F., Lavado W., Santini W., y Guyot J. L. (2012a). The Major Floods in the Amazonas River and Tributaries (Western Amazon Basin) during the 1970–2012 Period: A Focus on the 2012 Flood. *Journal of Hydrometeorology*.
- Espinoza J. C., Lengaigne M. Ronchail J., Janicot S. (2012b). Large-Scale circulation Patterns and related rainfall in the Amazon basin: a Neuronal Networks approach. *Climate Dynamics*. 38. 121-140. DOI. 10.1007/s00382-011-1010-8
- Espinoza, J. C., Ronchail, J., Frappart, F., Lavado, W., Santini, W., and Guyot, J. L. (2013). The Major Floods in the Amazonas River and Tributaries (Western Amazon Basin) during the 1970–2012 Period: A Focus on the 2012 Flood, *J. Hydrometeorol*, 14, 1000–1008.
- Janowiak, J. E., and P. Xie. (1999). CAMS-OPI: A global satellite-rain gauge merged product for real-time precipitation monitoring applications. *Journal of Climate* 12:3335-3342.
- Huffman G.J., R.F. Adler, D.T. Bolvin, E.J. Nelkin, (2010) “The TRMM Multi-satellite Precipitation Analysis (TMPA)”. Chapter 1 in *Satellite Applications for Surface Hydrology*, F. Hossain and M. Gebremichael, Eds. Springer Verlag, ISBN: 978-90-481-2914-0, 3-22.
- Lavado W., Labat D., Ronchail J., Espinoza J.C., Guyot J.L. (2013). Trends in rainfall and temperature in the Peruvian Amazon-Andes basin over the last 40 years (1965-2007). *Hydrological Processes*. 41, 2944-2957. doi: 10.1002/hyp.9418

- Lavado W. & Espinoza J.C. (2014). "Impactos de El Niño y La Niña en las Lluvias del Perú (1965-2007)", *Revista Brasileira de Meteorología*, v.29, n.2, 171-182.
- Lavado C W S, Ronchail J, Labat D, Espinoza J C and Guyot J L (2012). "Basin-scale analysis of rainfall and runoff in Peru (1969–2004): Pacific, Titicaca and Amazonas watersheds" *Hydrol. Sci. J.* at press (doi:10.1080/02626667.2012.672985).
- Satyamurty P., Nobre C. A., Silva Dias P.L. (1998). "Tropics - South America". In: Karoly DJ, Vincent DG (Org.) *Meteorology and hydrology of the Southern Hemisphere*. Boston: Meteorology Monograph. 49:119–139.
- Yoon J. H. y Zeng H. (2010). "An Atlantic influence on Amazon rainfall". *Clim. Dyn.* 34 249–64.